

N-[1-(benzotriazol-1-yl)aryl]arylamine 유도체의 항균성과 정량적 구조활성 관계(QSAR)

성낙도 · 김경훈 · 최우영 · 김홍기*

충남대학교 농과대학 농화학과, *농생물학과

초록 : 일련의 새로운 N-[1-(benzotriazol-1-yl)-X-치환-aryl]-Y-치환-arylamine 유도체를 합성하고 *Pyricularia oryzae*, *Fusarium oxysporum f. sp. sesami*, *Valsa ceratosperma* 및 *Botrytis cinerea*에 대한 항균활성(pI_{50})을 한천 회석법으로 측정하여 정량적인 구조-활성 관계(QSARs)를 분석한 바, X 및 Y-치환기들의 π 와 σ 및 M_R 파라미터가 항균 활성을 결정하는 중요한 요소이었다. 4-bromo 치환체(1d 및 2b)가 항균활성이 제일 큰 화합물이었으며, 중성 pH에서 1의 가수분해 반응에 대한 반감기($T_{1/2}$)는 약 1.5일 이었다. 기질 화합물의 분자궤도(MO) 합수와 항균 반응에 대한 자유에너지 관계(LFERs) 그리고 분자 설계의 결과들이 검토되었다(1991년 12월 17일 접수, 1992년 2월 6일 수리).

Triazole계 항균제로서 상품화된 Triadimefon,¹⁾ Hexaconazoles, Flutriafol 및 Triarimole²⁾ 등의 항균활성 반응은 morpholine계 화합물을 제외한 pyridine과 imidazole계 항균제들과 더불어 ergosterol biosynthesis inhibitor(EBI)로서 ergosterol의 C-14 α demethylation을 억제³⁾함으로써 균체내 지질 합성의 저해를 유발⁴⁾하는 것으로 알려져 있다.

최근에 보고된 triazole계 항균활성 화합물로는 Thiolane-Triazoles⁵⁾와 1-치환-1-aryl-2-triazol-1-yl-ethanols⁶⁾ 등이 있으며 2-butyl-2-(4-chlorophenyl)-3-(1H-1,2,4-triazol-1-yl)propanenitrile, (RH3866)⁷⁾은 넓은 영역의 항균제로서 흰 가루병(powdery mildew)이나 녹병(rusts) 등에 특별한 효과가 있고 EBI와 연관되어 있을 뿐 아니라, 식물독성^{8,9)}도 밝혀져 있다.

(2RS, 3RS)-1-(2,4-dichlorophenyl)-4,4-dimethyl-2-(1,2,4-triazol-1-yl)pentan-3-ol, (Diclobutrazol)¹⁰⁾도 C-14 α methyl group의 이탈을 차단하는 EBI로 작용하며 1-(2-phenyl-1,3-dioxoran-2-ylmethyl)-1,2,4-triazole¹¹⁾의 경우에는 dioxolane 고리의 작은 alkyl chain과 2,4-dichloro group 치환체가 가장 큰 항균 활성을 나타낸다고 보고된다.

근래에는 1-(phenoxyethyl)benzotriazoles 및 1-(thiophenoxyethyl)benzotriazoles 유도체들의 X-치환기와 결원자(Y=O 또는 S)의 변화에 따른 *P. oryzae* 등의 곰격원자(Y=O 또는 S)의 변화에 따른 *P. oryzae* 등의 곰

팡이균에 대한 항균활성이 electronic effect(σ)와 hydrophobicity(π)에 대하여 포물선 형의 관계가 있다는 사실이 보고 되기도 하였다.¹²⁾

본 연구에서는 1-(phenoxyethyl)benzotriazole 유도체의 methylene group 중 H원자 대신에 X-치환-phenyl group을 도입하여 소수성을 증가시키고, 결원원자가 N 원자인 Y-치환-anilino group이 치환된 일련의 새로운 N-[1-(benzotriazol-1-yl)-X-치환-aryl]-Y-치환-arylamine 유도체¹³⁾를 합성하여 *in vitro*에서 *Pyricularia oryzae*, *Fusarium oxysporum f. sp. sesami*, *Valsa ceratosperma* 및 *Botrytis cinerea* 등 4종의 곰팡이 균들에 대한 항균활성을 미치는 X 및 Y-치환기 변화에 따른 기질 분자들의 정량적인 구조-활성관계(QSAR)¹⁴⁾와 활성 분자들의 설계에 관하여 검토하고자 한다.

재료 및 방법

시약 및 기기

기질 유도체들의 합성에는 Aldrich 및 Fluka(GR)제의 1H-benzotriazole, 4-치환-aniline과 benzaldehyde 유도체 그리고 ethanol, ether 및 acetone 등의 용매를 사용하였으며 합성된 화합물의 녹는점은 Fisher-Johns Hot stage MP. App.로 측정하였다.

합성된 화합물의 구조확인에 사용한 기기로는 JEOL

JMS-DX 303 MS, Spectrometer와 Varian FT 80A model(80 MHz) NMR Spectrometer이었으며 반응속도 상수의 측정시에는 Pye-Unicam PU880 UV/Visible Spectrophotometer를 각각 이용하였다.

N-[1-(benzotriazol-1-yl)-X-치환-aryl]-Y-치환-arylamine 유도체의 합성

기질 유도체의 합성은 Mannich 반응^[15]을 이용하여 1H-benzotriazole(BT)과 X-치환-benzaldehyde와의 aminoarylation 반응으로 1-(hydroxyphenyl)benzotriazole(**a**)을 합성한 다음에 산-촉매에서 생성된 iminium이온(**b**)과 Y-치환-aniline을 반응시켜 합성하는 방법(A)과 BT에 Y-치환-aniline과 X-치환-benzaldehyde를 동시에 반응시켜 iminium이온(**c**)을 경유하는 합성 방법(B)이다.^[13]

여기에서는 A와 B의 2가지 방법으로 합성(수율 : 65~88%)하여 구조를 확인하였으며^[16] 전 합성과정은 Fig. 1에 요약하고 유도체 별로 녹는점을 Table 1에 정리하였다.

기수분해 반응 속도상수의 측정

25%(v/v)의 methanol 수용액을 pH 7(phosphate buffer)로 조절하고 sodium chloride를 가하여 반응용액의 이온의 세기를 0.1 M로 한 다음에 25 °C의 항온기 속에서 시간에 따르는 기질 화합물의 농도 변화를 UV 분광법

으로 측정하였다.

반응 시간과 농도변화 사이의 직선관계로부터 기질 화합물의 기수분해 반응은 전형적인 1차 반응이었으며 그 기울기로부터 1차반응 속도상수를 구하여 요약(Table 1)하였다. 한 예로 pH 7.0에서 **1c**(UV(25%v/v)MeOH) : $\lambda_{\text{max}}(\log \epsilon)$: 252~254 nm(4.34))의 1차반응 속도상수($\log k$)는 $5.30 \times 10^{-6} \text{ sec}^{-1}$ 이고 반감기($t_{1/2}$)는 약 1.51일이었다.

Methylene group의 SCS

기질 분자내 결합을 통하여 전달되는 X, Y치환기들에 의한 electronic effect를 검토하기 위하여 치환기 변화에 따른 methylene group(Cα-H)의 substituent chemical shift(SCS)를 측정하였다. SCS(ppm)는 TMS를 내부 표준물질로 한 실온의 acetone-d₆용액에 **1**과 **2**를 각각 녹이고(0.3~0.5 M/l) Cα-H의 chemical shift(8.55~8.85 ppm)를 sweep width 5 ppm으로 확장하여 얻은 NMR spectra로부터 측정(Table 1)하였다.

항균활성 검정

항균활성 검정대상 균주는 참깨 시들음병균(*Fusarium oxysporum f. sp. sesami*, FOS), 벼 도열병균(*Pyricularia oryzae*, PO), 사과 부란병균(*Valsa ceratosperma*, VC) 및 잿빛 곰팡이균(*Botrytis cinerea*, BC) 등 이었으며 충남

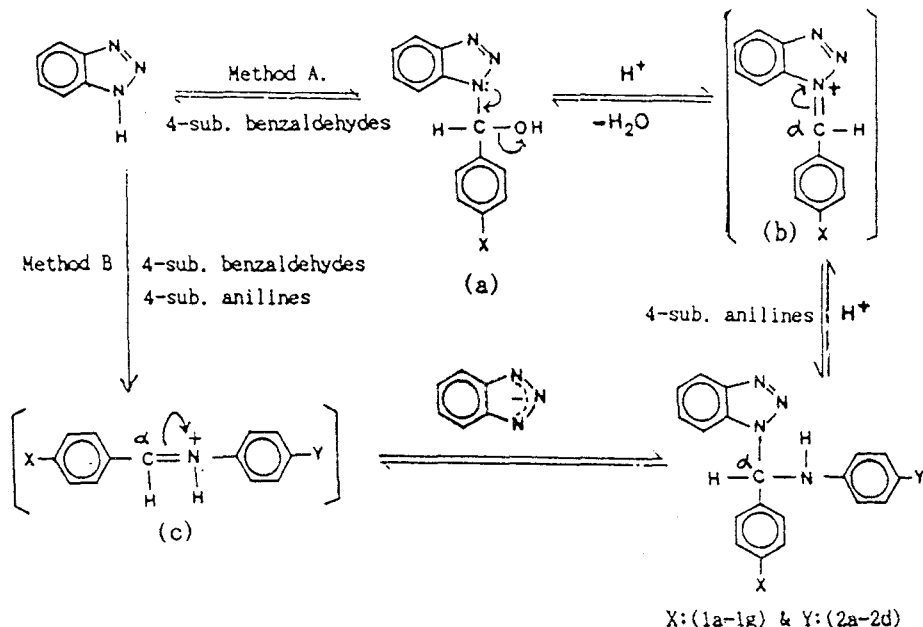


Fig. 1. Synthetic process of N-[1-(benzotriazol-1-yl)aryl]arylamine derivatives.

대학교 농생물학과에서 분리 동정한 것으로 균주별 배양 조건은 앞서의 보고와 같다.¹²⁾

항균활성은 반경 9 cm의 patri dish에 potato dextrose agar(PDA)와 1과 2를 acetone에 녹인 15~400 ppm의

Table 1. Observed melting points, hydrolysis rate constants(kobs. 10⁻⁶/sec) and SCS(Ca-H) of N-[1-(benzotriazole-1-yl)-aryl]arylamine derivatives

Compds. No.	X	Y	mp. (°C)	pH 7.0 ^{a)}	t _{0.5} ^{b)}	SCS ^{c)}
1a	4-OCH ₃	4-H	90~92	3.75	2.14D	8.55
1b	4-CH ₃	4-H	90	5.00	1.60D	8.57
1c^{d)}	4-H	4-H	87	5.30	1.51D	8.63
1d^{e)}	4-Br	4-H	77~87	6.40	1.25D	8.66
1e	4-CN	4-H	90~91	6.55	1.22D	8.75
1f	3-NO ₂	4-H	83	—	—	8.83
1g	4-NO ₂	4-H	78~79	6.50	1.23D	8.84
2a	4-H	4-CH ₃	82~83	8.00	1.00D	8.60
2b	4-H	4-Br	107~108	3.70	2.17D	8.72
2c	4-H	4-CN	127	0.19	42.21D	8.73
2d	4-H	4-NO ₂	116~118	0.11	76.38D	8.77

^{a)}The values were obtained by UV spectrophotometrically in 25% (v/v) aqueous methanol at 25 °C.

^{b)}Half-life time at pH 7.0, D : Day

^{c)}Substituent chemical shifts(ppm) of methylene group (Ca-H) were measured by NMR spectrometry in deuterioacetone at 25 °C, MS(m/e%) : M⁺ 1, 301(5).

^{d)}& M⁺, 378(7)^{e)}

용액을 가하고 충분히 섞어 만든 PDA배지를 이용하여 한천 회석법¹⁷⁾으로 3회 반복 실험하였다. 균사의 생장은 10⁻³ M~10⁻⁴ M의 농도범위에서 50%억제(I₅₀)되었으며 이때 몰 농도의 역의 대수값을 관측된 항균 활성값(obs. pI₅₀)으로 정(Table 2)하였다.

MO함수와 QSAR식의 계산

기질분자의 구조적인 특성과 반응성을 알아보기 위하여 phenyl group 대신에 vinyl group을 도입한 N-(α -aminobenzoyl)aniline을 모델 분자로 택하여 EHT¹⁸⁾(QCPE program #344)방법¹⁹⁾으로 CYBER 170 computer를 이용하여 분자궤도(MO) 함수를 계산하였다.

유도체 별 항균 활성값(obs. pI₅₀)과 physicochemical parameters로부터 기질 유도체의 정량적인 구조와 항균 활성 관계(QSAR)식^{14,20)}들을 Hansch approach 방법^{21,22)}으로 QSAR-PC : PAR 프로그램을 이용하여 PC로 계산하였다. Physicochemical parameter²³⁾로는 electronic effect(σ), molar refractivity(MR, polarizability, cm³/M), steric parameter(Es) 및 phenol system에서 얻어진 hydrophobicity(π) 등의 여러가지 파라미터가 검토되었다.

결과 및 고찰

모델 분자의 MO함수

모델 분자인 N-(α -aminobenzoyl)aniline 분자의 X-치

Table 2. Observed and calculated fungicidal activity(pI₅₀)^{a)} of (1) and (2) derivatives *in vitro* against the four fungi

Compds. No.	<i>Fusarium oxysporum</i> <i>f.sp. sesami</i>			<i>Pyricularia oryzae</i>			<i>Valsa ceratsperma</i>			<i>Botrytis cinerea</i>		
	Obs.	Calc. ^{b)}	Dev.	Obs.	Calc. ^{b)}	Dev.	Obs.	Calc. ^{b)}	Dev.	Obs.	Calc. ^{b)}	Dev.
1a	3.00	2.90	0.01	3.29	3.21	0.08	3.82	3.97	-0.15	4.34	4.26	0.08
1b	3.22	3.42	-0.20	3.32	3.48	-0.16	3.72	3.85	-0.13	4.20	4.38	-0.18
1c	3.00	2.95	0.05	3.33	3.34	-0.01	3.60	3.47	0.13	4.18	4.22	-0.04
1d	4.10	3.92	0.08	3.84	3.83	0.01	4.40	4.26	0.14	4.58	4.45	0.13
1e	2.96	2.93	0.03	3.27	3.36	-0.09	3.73	3.73	0.00	4.21	4.11	0.10
1f	3.25	3.25	0.00	3.84	3.51	0.33	3.84	3.93	-0.09	4.14	4.18	-0.04
1g	3.00	3.20	-0.20	3.33	3.49	-0.16	3.84	3.91	-0.07	4.06	4.46	-0.10
2a	3.10	3.15	-0.05	3.50	3.43	0.07	3.54	3.63	-0.09	4.20	4.21	-0.01
2b	3.28	3.28	0.00	3.73	3.73	0.00	3.83	3.74	0.09	4.18	4.19	-0.01
2c	2.94	2.86	0.08	3.34	3.85	-0.01	3.64	3.66	-0.02	4.26	4.22	0.04
2d	2.99	3.94	0.05	3.40	3.45	-0.05	3.58	3.70	-0.12	4.24	4.21	0.03

^{a)}The growth inhibiting activity was expressed as the pI₅₀, negative logarithm of the molar concentration for 50% inhibition of mycelial growth, (I₅₀) *in vitro* against *Fusarium oxysporum f. sp. sesami*(Cultivated for a week at 27 °C), *Pyricularia oryzae*(Cultivated for 15 days at 26~28 °C), *Valsa ceratsasperma*(Cultivated for 6 days at 27 °C) and *Botrytis cinerea*(Cultivated for 5 days at 23 °C).

^{b)}The values were calculated by equations in Table 4.

환체, (1)은 전자끌게($\rho > 0$)일수록 LUMO에너지가 감소하는 치환기 효과(LUMO(ev)) : $\rho = -0.790$ 및 HOMO(ev) : $\rho = -0.126$ 를 나타내므로 기질분자는 친 전자성을 나타내며 Y-치환체, (2)도 같은 경향이었다. 그러므로 물분자(LUMO(ev) = -0.249 및 HOMO(ev) = -14.800)와의 가수분해 반응은 기질 분자의 LUMO와 물분자 HOMO사이의 상호작용에 따른 soft-soft한 궤도 조절반응²⁴⁾이 주로 일어날 것이다.

또한, 비 치환체에서 (BT)N-Ca-NphY 결합원자의 원자궤도(AO)계수(2 p_z) ($N = 0.5033$, Ca = -0.0194 및 $N = 0.0184$)로부터 nodal property를 검토한 바, 모두 반 결합성인 (BT)N-Ca 및 Ca-NphY결합이 쉽게 분해될 수 있음이 예상되었다. Methylene group Ca원자의 알짜전하(q)에 미치는 치환기 효과(Caq(X)) : $\rho = 2.30 \times 10^{-2}$ 및 Caq(Y) : $\rho = 1.15 \times 10^{-3}$ 는 전자끌게($\rho > 0$)일수록 X가 Y보다 더 크게 Ca원자의 양 하전을 증가시키므로 Ca원자에 대한 물 분자의 친핵성 반응 즉, 가수분해 반응성에 미치는 X의 영향이 Y보다 큼 것임을 알 수 있었다.

가수분해 반응

가수분해 반응 속도상수(log k)를 Hammett식(log k = $\rho\sigma$)²⁵⁾에 적용한 결과, X($\rho = 0.20$)는 benzotriazolyl group(BT, pKa = 8.2)과 더불어 전자끌게($\rho > 0$)로 작용하지만 Y($\rho = -0.21$)는 전자밀게($\rho < 0$)로 작용¹⁶⁾하는 치환기 효과를 나타내었다. Y가 전자를 밀수록 imide group의 N원자는 Ca원자에 전자를 제공함으로써 benzotriazolyl group이 이탈되어 ionic dissociation mechanism으로 진행되는 dissociation-recombination process²⁶⁾가 예상된다.

모델 분자의 MO함수 검토 결과로부터 예상되는 바와 같이 가수분해 반응시에는 반응중심인 Ca원자에 대한 물 분자의 친핵성 반응으로 인하여 물 분자와의 결합생성(H₂O-Ca)이 benzotriazolyl group의 이탈(Ca-BT)보다 우선하는 “회합 S_N2형” 반응으로 진행¹⁶⁾될 것으로 판단된다.

X(1)는 전자를 끌수록 중성 pH에서 가수분해 반응의 반감기($t_{0.5} = 0.693/k$)(Table 1)가 평균 1.5일로 빨리 분해하지만, Y(2)는 전자를 끌수록 BT group의 ionic dissociation이 억제되기 때문에 난 분해성이 증가된다.

한편, 항균활성에 미치는 가수분해 반응의 영향²⁷⁾을 검토한 바, 가수분해 반응(log k)은 (FOS)와 (PO)의 항균활성에만 영향을 미치며, 그 이외는 영향이 없음을 알았다. 한 예로, (PO)의 항균활성에 미치는 관계식(obs.pI₅₀(X) = $0.48\pi - 0.46 \log k + 0.81$ 및 obs.pI₅₀ = $0.35\pi + 0.041 \log k +$

3.56, $r > 0.90$)으로부터 X에 의한 항균활성은 소수성과 가수분해 반응성이 대등하게 작용하는 반면에, Y에 의한 항균활성은 소수성이 가수분해 반응성보다 우세하다. 그러나 X, Y 두 치환기(obs.pI₅₀(X, Y) = $0.41\pi + 0.01 \log k + 3.31$, $r > 0.90$)는 모두 소수성에 의존적으로 항균작용에 더 큰 영향을 미치고 있음을 잘 설명하고 있다.

항균활성 상수(pI₅₀)

P. oryzae 등 4가지 곰팡이 균에 대하여 측정된 유도체별 항균활성(obs. pI₅₀)값(Table 2)으로부터 (FOS)(Fig. 2), (PO) 및 (VC)는 X가 Y보다 큼(X > Y) 항균활성을 나타내었으나 (BC)에 대하여는 반대 경향(X < Y)이었다. 또한 calc. pI₅₀값은 Table 4의 QSAR식으로 계산한 것인데 obs.pI₅₀값과 잘 일치하므로 π와 σ 및 M_R상수를 변수로 한 식들이 기질 화합물의 구조와 항균활성 관계를 잘 설명하고 있음을 알 수 있다.

화합물, 1과 2는 (BC)에 대하여 가장 큰 항균활성을 나타내었고 (VC) > (PO) > 및 (FOS)의 순으로 감소하는 경향이었다. 특히, (BC)에 대한 1의 항균활성(pI₅₀)값은 평균 4.24로 비교적 우수하였고 4-Br치환체(1d)는 가장 큰 항균활성(pI₅₀ = 4.58)을 나타내는 화합물¹²⁾였으며 (BC)이외에도 큰 항균활성을 보였다. 이는 azole계 화합물의 4-halogen 치환체가 큰 항균성을 보이는 경우와 같아²⁸⁾ 1d와 2b도 sterol의 c-14a 탈 메칠화 반응을 비교적 크게 저해하는 EBI로 작용하기 때문으로 믿어진다.⁴⁾

자유에너지 관계

Ca-H의 SCS에 미치는 X, Y 치환기에 의한 자유에너지 관계²⁹⁾ (linear free energy relationship, LFER)를 검토

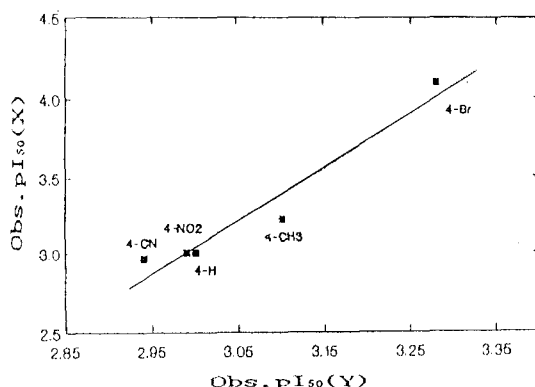


Fig. 2. Relationship between obs.pI₅₀(X) values and obs.pI₅₀(Y) values *in vitro* against *Fusarium oxysporum f. sp. sesami*, obs.pI₅₀(X) = 3.47 obs.pI₅₀(Y) - 7.37, r = 0.97.

하기 위하여 Hammett식²⁵⁾에 적용한 결과, X($\rho=0.27$)가 Y($\rho=0.18$)보다 큰 치환기 효과를 나타내고 있음을 알았다. 이는 benzotriazolyl 및 X-치환-phenyl group의 anisotropic effect와 delocalized shielding effect 및 Y-치환-anilino group의 N원자에 의한 local diamagnetic effect에 의하여 methylene 양성자의 전자밀도 감소정도에 따라 SCS에 미치는 X의 영향이 Y보다 크다는 것을 설명한다.

SCS(Ca-H), log k 및 pI₅₀(BC)에 미치는 치환기들에 의한 LFER의 조성을 알아보기 위하여 Taft식(SCS = $\rho_1\sigma_1 + \rho_{R,R}R$)에 적용하여 얻은 medium function($\varepsilon = \rho_R/\rho_1$)을 Charton식(%R = $100\varepsilon/(1+\varepsilon)$)에, 그리고 Swain-Lupton(SL)(SCS = fF + rR)식의 f 및 r값을 SL식(%R = $100(\Psi/r - |\Phi|f| + \Psi|r|)$ 및 %F(또는 %L) = $100\%R$)에 적용³⁰⁾한 결과(Table 3)에 따르면, X가 SCS(Ca-H)에 미치는 공

명효과(resonance effect, R)와 유발효과(localized effect, L) 및 장효과(field effect, F)는 비슷(R = F(L))하지만, Y는 F-효과의 영향을 현저히 크게(R << F(L)) 미치고 있다.

왜냐하면, Ca-H와 Xph group이 거의 평면성이므로 X는 Ca-H에 π-결합을 통한 conjugation effect가 미치도록 하는 반면에, Y는 N-phY group의 N(sp³)원자에 결합되어 약간 비틀리어 있는 형태를 취하기 때문이다. 그러나 가수분해 반응(log k)과 항균활성(pI₅₀(BC))에는 X, Y 두 치환기에 의하여 모두 R-효과의 영향이 더 크게 미치고 있음을 보여주고 있으며 그 경향은 항균활성에서 더 크게(R >> F(L)) 나타나 있다.

실제 triazole계 EBI화합물들의 C-14α 탈 메칠화 반응의 저해³¹⁾는 주로 benzotriazole의 N-4원자와 cytochrome p-450의 protoheme 철 원자와의 공유결합에 기인¹⁴⁾

Table 3. LFER analysis on each cases of N-[1-((benzotriazol-1-yl)-aryl]arylamine derivatives

Cases	Sub.	Charton			SL		
		%R	%L	ratio ^{c)}	%R	%F	ratio ^{c)}
log k ^{b)}	X	59.00	41.00	1.44	40.37	59.63	0.68
	Y	7.40	92.60	0.08	5.02	94.98	0.05
	X & Y	54.75	45.25	1.21	37.36	62.84	0.59
	X	69.42	38.58	2.27	64.29	35.71	1.80
pI ₅₀ (BC)	Y	62.29	37.31	1.68	58.23	41.77	1.40
	X & Y	51.69	48.31	1.09	45.73	54.27	0.84
	X	76.58	23.42	3.27	70.13	29.87	2.35
	Y	71.10	28.90	2.46	72.34	27.66	2.62
	X & Y	73.47	26.53	2.77	63.57	36.43	1.74

^{a)} Substituent chemical shift(ppm) of methylene group(Ca-H) were measured by NMR spectrometry in acetone-d₆ at 25 °C.

^{b)} The values were hydrolysis rate constant of (1c) at pH 7.0 and at 25 °C.

^{c)} %R/%L(or %F)

Table 4. Correlation equations^{a)} on the fungicidal activity of N-[(benzotriazol-1-yl)aryl]arylamines *in vitro* against the four fungi

Fungi	Eq.No.	π(X)	π(Y)	ΣM _R	Σσ	const	n	s	F	r
(FOS)	1	0.901 (0.129)	0.338 (0.133)	-0.214 (0.106)	2.954 (0.070)	11	0.140	16.60	0.936	
(PO)	2	0.544 (0.205)	0.456 (0.208)	0.100 ^{b)} (0.190)	3.335 (0.124)	11	0.160	4.15	0.800	
(VC)	3	0.450 (0.139)	-0.011 (0.143)	0.037 (0.023)	3.394 (0.159)	11	0.130	8.46	0.885	
(BC)	4	0.245 (0.107)	-0.028 (0.106)	-0.230 ^{c)} (0.104)	4.224 (0.051)	11	0.110	2.67	0.730	

^{a)} Figures in parameters are 95% confidenced interval.

^{b)} ΣE_S

^{c)} X-substituent's value(σ_x), n : the number of data are used in the correlation, s : standard deviation, F : calculated F-values, r : multiple correlation coefficient

하므로 치환기와 N-4원자간의 결합거리는 너무 멀기 때문에 N-4원자의 결합성에 미치는 분자내 결합을 통한 X와 Y 치환기의 영향은 고려 할 수 없다. 그러나 두 반응점 사이의 공간을 통한 electronic effect가 용매 system에 따라 π -결합성다면 R-효과, σ -결합성이면 유발효과(L)가 나타나는 용매 의존적이라는 사실³⁰⁾에 따라 항균 반응성에서 R-효과가 F(또는 L)-효과보다 크다($R \gg F(L)$)는 것은 치환기와 수용체사이의 소수성 결합에 어떤 형태로든 π -system이 관여하고 있음을 예상할 수 있다.

정량적인 구조와 항균 활성관계(QSAR)

일련의 화합물에 대한 정량적인 구조와 항균활성 관계(QSAR)¹¹⁾는 존재하는 화합물은 물론, 존재하지 않는 화합물들의 생물활성을 예측하고 mode of action을 이해하는데 있다.²⁰⁾ 이러한 예측은 관련된 화합물의 구조에 대한 물리화학적인 성질이나 또는 molecular descriptor와 화합물에 의한 생물활성사이의 관계에 근거한다.

QSAR를 검토하기 위한 방법에는 Free-Wilson approach와 몇가지 유형의 recognition technique들¹⁴⁾이 있으나 여기에서는 잘 알려진 Hansch approach 방법²⁰⁾을 이용하고자 한다. 1960년대 초에 Hansch는 biological response의 하나 또는 그 이상의 성질이 hydrophobic(π), electronic(σ) 및 steric(E_s) parameter의 선형 함수임을 가정하였다.²¹⁾

본 연구에서 기질 화합물들의 항균 활성에 대한 의존성은 hydrophobicity(π)가 제일 커으며 E_s 상수와 M_R 상수 보다는 σ 상수의 영향이 비교적 크게 영향을 미치고 있음을 알 수 있었다.

한 예로, (VC)에 대한 $obs.pI_{50}$ 과 π 상수와의 관계(Fig. 3)

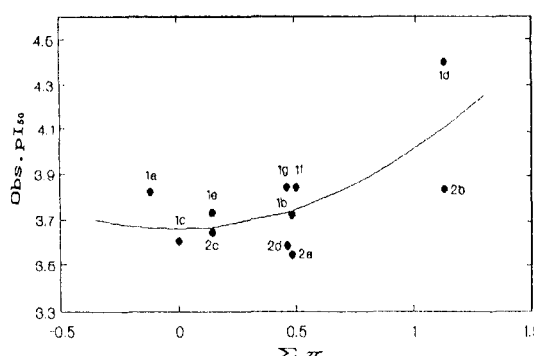


Fig. 3. Relationship between hydrophobic parameters(π) of X & Y substituents and the antifungal activity($obs.pI_{50}$) *in vitro* against *Valsa ceratosperma*. $Obs.pI_{50}=0.350(0.117)\Sigma\pi^2(X, Y)+3.658(0.266)$, $n=11$, $s=0.176$, $F=8.78$ & $r=0.705$.

로부터 X(1)가 Y(2)보다 항균활성이 크며($X>Y$) 치환체 별로 독자적으로 영향을 미치고 있음을 나타내고 있다.

대개의 경우 π 파라미터는 화합물이 생체내 작용점에 이르는 수송과정의 확률에 관련된 중요한 역할을 하는 것³¹⁾으로 화합물이 한 phase에서 다른 phase로의 이동에 따른 자유에너지 관계의 척도이다. Benzoic acid, phenoxyacetic acid, benzamides, phenyl N-methylcarbamates, benzene 및 phenol system 등에서 얻어진 π ²²⁾값에 대한 항균 활성값과의 의존성을 검토한 바, 기질 유도체와 구조적으로 유사한 일련의 benzene과 phenol system에 대한 의존성이 가장 좋았으며 전체적으로는 phenol system의 π ²²⁾값에 대한 의존성이 가장 우수하였다.

균주별 기질 화합물들의 구조와 항균활성 관계를 설명하기 위하여 유도된 QSAR식(Table 4)들은 phenol system의 π 와 electronic factors의 영향에 대한 척도로써 화합물의 이온화 정도와 그에 관련된 영향에 관한 요소인 σ 상수와 입체효과를 나타내는 E_s 상수 그리고 분자의 additive-constitutive property를 나타내므로써 입체효과인 molar 부피(cm^3/M)와 분산력을 뜻하는 M_R parameter로 구성되어 있으며 correlation matrix로부터 physicochemical parameter들이 각각 독립적임을 확인하였다.

QSAR 식에서 π^2 항의 부호가 양($\pi<0$)인 경우에는 pI_{50} 과 π 가 역 포물선의 관계를 나타내는 것으로 최저값(minimal value) 이상의 소수성이 클수록($\pi<0$ 또는 $\pi>0$) 항균활성이 증가할 것임을 나타낸다. 여기에서는 π 값이 양($\pi>0$)의 값이므로 비극성 치환체 일수록 곰팡이균 세포속에서 침투가 촉진되거나 수용체의 작용점과 소수성 결합의 형성에 기여함으로써 항균활성이 증가됨을

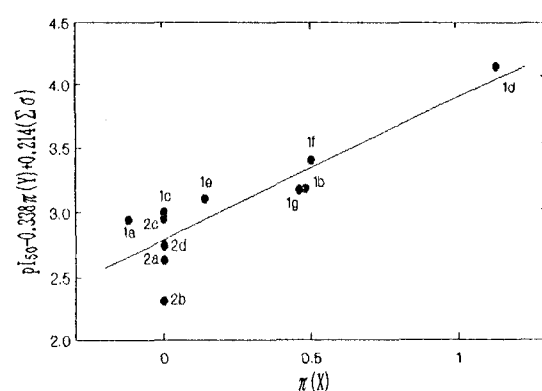


Fig. 4. Plots of $sum(obs.pI_{50} - 0.338\pi(Y) + 0.214\Sigma\sigma)$ versus hydrophobicities(π) of X-substituents on the antifungal activity(eq.1) *in vitro* against *Fusarium oxysporum f. sp. sesami*, $Sum=1.107(0.196)\pi(X) + 2.790(0.084)$, $n=11$, $s=0.231$, $F=31.88$ & $r=0.883$.

뜻한다.³³⁾ 그러나 항균활성은 주로 π 상수에 의존적일 것이지만, QSAR식을 구성하고 있는 π 이외의 σ 와 E_s 및 M_R 상수로 인하여 제한적으로 주어지는 π 값의 범위를 만족하는 치환체들에 의하여 영향을 받게 된다.

한편, π^2 항의 부호가 음($\pi<0$)인 포물선 관계로부터 π 값이 최적값(optimal value)을 나타내는 경우에는 화합물이 항균활성을 나타내기 위하여 임계 지점에 도달하는데 수 많은 lipoidal-aqueous 공유 접촉영역을 가로질러 통과하는 정도가 크지 않음을 의미한다.³⁴⁾

전체적으로 항균활성에 미치는 π 의 영향은 Y보다 X가 크므로 Y보다 X의 소수성이 크게($X>Y$) 항균활성에 영향을 미치고 있으며(VC)와 (BC)의 경우, (3)과 (4)식에서 Y는 소수성에 기여하지 않음을 알 수 있다. 또한, (FOS)와 (BC)의 경우, (1)과 (4)식에서 X와 Y는 전자 밀개로서 소수성이 큰 치환기이여야 할 것임을 잘 설명하고 있다. 특히, (1)식과 같이 X의 π 계수가 1에 가까운 것은, π 가 유도된 model system에서 균체내 이동의 자유 에너지에 한 치환기 효과가 aqueous phase로부터 저해 지점까지 이동하는 자유 에너지에 대등하게 근접함을 뜻하며 이는 저해체들이 소수성이 큰 구획이나 효소 또는 이들 두 구획상에서 작용함을 나타낸다.³⁵⁾

한편 (PO)의 경우, (2)식에서는 치환기의 부피가 클 수록 나쁜 영향($E_s>0$)을 준다는 사실을 나타내고 있으며³⁵⁾ (3)식에서 M_R 상수는 양($M_R>0$)의 값을 가지므로 기질의 치환기가 ligand macromolecule과의 상호작용에 있어서 입체효과가 존재하지 않고 분산력이 작용함을 암시하며³⁶⁾ 음($M_R<0$)의 값은 M_R 상수의 증가에 따른 입체효과로 인하여 항균활성이 감소될 것임을 뜻한다.³⁷⁾ 그러나 M_R 상수의 역할은 분산력($M_R\geq 0$)으로 작용하는 경향이 약간 우세할 것이다.

(1)식의 관계(Fig. 4)에서 알 수 있는 바와 같이 azole계 할로겐 치환체(**1d**)가 제일 큰 항균 활성을 나타내며 X에 의존적인 dual effect에 의하여 생체내 수송과정과 수용체와의 소수성 적 상호작용에 모두 영향을 미치고 있음을 잘 설명하고 있다.

이상과 같은 QSAR 분석결과, N-[1-(benzotriazole-1-yl)-X-치환-aryl]-Y-치환-aryamine 유도체들의 항균활성 반응은 치환기를 포함한 back bone의 소수성(π)과 치환기의 이온화 정도(σ)에 의존적이므로 기질분자의 heterocyclic portion(N)과 protoheme의 Fe원자 사이의 공유 결합 뿐만 아니라, 기질화합물이 균체내 침투나 이행하는데는 물론, X, Y의 non-heterocyclic portion과 cytochrome p-450의 lipophilic site³⁸⁾에 대한 소수성 결합³²⁾ 등이 항균활성 반응에 있어서 절대적으로 중요한 요소로 작

용하고 있음을 잘 알 수 있었다.

활성 분자의 설계³⁸⁾

특정한 고활성 화합물을 탐색하기 위하여 QSAR식(Table 4)으로부터 항균활성을 증가시킬 수 있는 공통적인 조건은 소수성³²⁾이 큰 치환기로써 (FOS)와 (BC)의 경우에는 전자밀개($\sigma<0$)이어야 하고 (PO)와 (VC)의 경우에는 전자끌개($\sigma>0$)로써 모든 경우에 E_s 가 양($E_s>0$)의 값을 보였으므로 치환기가 클수록 활성에 나쁜 영향을 미칠 것이기 때문에³⁸⁾ 앞서의 조건을 만족하는 mono 치환체가 큰 활성을 나타낼 것으로 기대되었다.³⁹⁾ 그러나 기타 침투 이행성, 선택성, 동물독성 및 환경독성⁴⁰⁾ 등의 여러조건도 고려되어야 할 것이므로 이후의 연구는 이들 문제점들의 원만한 해결을 위한 QSAR방법의 다양한 응용성⁴¹⁾에 관하여 보고하고자 한다.

사 사

본 연구는 2년(1990. 3. 1~1992. 2. 28) 동안 한국과학재단의 연구비지원(901-1502-033-2)으로 이루어진 것으로 이에 깊은 감사를 드립니다.

참 고 문 헌

1. Grawe, F. and Buchel, K.H. : Mitt. Bio. Bundesanst. Land-Forstwirsh., Berlin, 151 : 208(1973)
2. Ragsdale, N.N. and Sisler, H.D. : Biochem. Biophys. Res. Commun., 46 : 2048(1972)
3. Magee, P.S., Kohn, G.K. and Menn, J.J., eds., : Pesticides Synthesis through Rational Approaches, p. 65-82. ACS., Washington, D.C. 1984
4. Baker, D.R., Fenyes, J.G., Moberg, W.K. and Cross, B. eds. : Synthesis and Chemistry of Agrochemicals, Ch. 27., p. 302, ACS., Washington, D.C. 1987
5. Konosu, T., Takeda, N., Tajima, Y., Yasuda, H. and Oida, S. : Chem. Pharm. Bull., 38 : 1258(1990)
6. Cohllet, J-F., Bonnemain, J-L., Miginiac, L. and Rohr, O. : Pestic. Sci., 29 : 427(1990)
7. Quinn, J.A., Fujimoto, T.T., Egan, A.R. and Shader, S.H. : Pestic. Sci., 17 : 357(1986)
8. Buchenauer, H. and Röhner, E. : Pestic. Biochem. Physiol., 15 : 58(1981)
9. Lever, B.G., Shearing, S.J. and Batch, J.J. : Proc. Br. Crop. Protect Conf. Weeds, 1 : 3(1982)
10. Baldwin, B.C. and Wiggins, T.E. : Pestic. Sci., 15 : 156(1984)

11. Gestel, J.V., Heeres, J., Janssen, M. and Reet, G.V. : ibid., 11 : 95(1980)
12. Sung, N.D., Lim, C.H., Choi, W.Y., Ko, T.S. and Kwon, K.S. : J. Korea Agri. Chem. Soc., 33 : 231 (1990)
13. a) Katritzky, A.R., Rachwal, S. and Rachwal, B. : J. Chem. Soc., Perkin Trans I : 791(1987), b) ibid., 799(1987)
14. Fujita, T. : Structure-Activity Relationships, Quantitative Approach(I) & (II)., Nankodo, Tokyo, 1982
15. Adams, R. eds. : Organic Reactions., 1 : 303, John Wiley & Sons., Inc. New York, 1942
16. Sung, N.D., Park, C.K. and Kwon, K.S. : Unpublished, 1990
17. Fukami, J., Yesungi, Y., Ishizu, K. and Tonizawa, : Methods in Pesticide Science, Soft Science, Tokyo, 1978
18. Yates, K. : Hückel Molecular Orbital Theory., Academic Press., New York, 1978
19. Quantum Chemistry Program Exchange(QCPE), Dept. of Chem., Indiana Univ., Bloomington, 1N, 47404, U.S.A.
20. Hansch, C. : Structure-Activity Relationship.(Lavalito. C.J. ed.), p. 75-165., Pergamon, Oxford., 1973
21. Hansch, C. and Fujita, T. : J. Am. Chem. Soc., 86 : 1616(1964) & ibid., 85 : 2817(1963)
22. Hansch, C. : Accounts Chem. Res., 2 : 232(1969)
23. Hansch, C. and Leo, A. : Substituent Constant for Correlation Analysis in Chemistry and Biology, John Wiley, New York, 1979
24. Fleming, I. : Frontier Orbitals and Organic Chemical Reactions, Ch. 3, p. 37., John Wiley & Sons., Toronto, 1980
25. Johson, C.D. : The Hammett Equation, Cambridge Univ., Press. Cambridge, 1973
26. Kartritzky, A.R., Skarjune, R. and Yannan Kopoulou, K. : J. Chem. Soc., Perkin Trans I, 2673(1987)
27. Gozzo, F., Masosro, M., Quadrelli, L. and Zagni, A. : Pestic. Sci., 11 : 314(1980)
28. Sasaki, M., Kato, T., Yamamoto, S. and Mukai, K. : J. Pestic. Sci., 9 : 717(1984)
29. Shorter, J. : Correlation Analysis of Organic Reactivity, Ch. 5., p. 167, Research Studies Press., 1982
30. Sung, N.D. : J. Korea Chem. Soc., 33 : 538(1989)
31. Esser, H.O. : Pestic. Sci., 17 : 265(1986)
32. Fujita, T. : Substituent Effects in the Partition Coefficient of Disubstituted Benzene, Prog. Phys. Org. Chem., 14 : 75(1983)
33. Hansch, C. and Deutsch, E.W. : Biochmica. Et Biophysica Acta., 112 : 381(1966)
34. Pennistone, J.T., Beckett, L., Bentey, D.L. and Hansch, C. : Mol. Pharmacol., 5 : 333(1969)
35. Kirino, O., Takayma, C. and Inoue, S. : J. Pesticide Sci., 12 : 79(1987)
36. Ref. 32, ibid., 14 : 143(1983)
37. Hansch, C., Yoshimoto, M., Doll, M.H. : Med. Chem., 19 : 1089(1976)
38. Hansch, C., Sammes, P.G., Taylor, J.B. ed., Comprehensive Medicinal Chemistry, Vol. 4., Ch. 21., Pergamon press, 1990
39. Sung, N.D. and Kwon, K.S. et. als., Patent Pending (1991)
40. Kaiser, K.L.E., Ed., QSAR in Environmental Toxicology, Riedel, Dordrecht(Holland) 1984
41. Tichy, M. ed., QSAR in Toxicology and Xenobiochemistry, Elsevier, Armsterdam, 1985

Antifungal activity of N-[1-(benzotriazol-1-yl)aryl]arylamine derivatives and quantitative structure-activity relationships(QSAR)

Nack-Do Sung, Kyoung-Hoon Kim, Woo-Young Choi and Hong-Ki Kim*(Department of Agricultural Chemistry, *Department of Agricultural Biology, Chungnam National University, Taejon 305-764, Korea)

Abstract : A series of new N-[1-(benzotriazol-1-yl)aryl]arylamine derivatives were synthesized and their antifungal activities (pI_{50}) *in vitro* against *Pyricularia oryzae*, *Fusarium oxysporum f. sp. sesami*, *Valsa ceratosperma* and *Botrytis cinerea* were determined by the agar medium dilution method. From the results of the quantitative structure-activity relationships (QSAR_S) analysis, hydrophobicity(π), electronic($\Sigma\sigma$) and molar refractivity(ΣM_R) parameter of X & Y-substituents on the phenyl group were also shown to be important factor in determining the variation in the antifungal activity. 4-Bromo group substituents (1d & 2b) were the most effective compounds and the half-life($T_{1/2}$) on the hydrolysis of X(1) at natural pH was about 1.5 day. Molecular orbital(MO) functions of substrate compound, linear free energy relationships(LFER_S) on the antifungal reactivity and the results of molecular design were also discussed.